

# فصلنامه زمین ساخت

تابستان ۱۴۰۰، سال پنجم، شماره ۱۸

doi [10.22077/JT.2022.4613.1120](https://doi.org/10.22077/JT.2022.4613.1120)

## مطالعه سنگ منشأ و خاستگاه زمین ساختی رسوبات کواترنری مانداب سقلکسرا در رشت

معصومه مجملی رفانی<sup>۱</sup>، خلیل رضایی<sup>۲\*</sup>، مهران آرین<sup>۳</sup>، محسن آل علی<sup>۴</sup>، پانه آگیاهچی<sup>۵</sup>

۱. دانشجوی دکتری، رسوب‌شناسی، گروه علوم زمین، دانشکده علوم و فناوری‌های همگرای، دانشگاه آزاد اسلامی، واحد علوم و تحقیقات، تهران، ایران.

۲. استادیار، رسوب‌شناسی، دانشکده زمین‌شناسی، دانشگاه خوارزمی، تهران، ایران.

۳. استاد، تکنولوژی، گروه علوم زمین، دانشکده علوم و فناوری‌های همگرای، دانشگاه آزاد اسلامی، واحد علوم و تحقیقات، تهران، ایران.

۴. استادیار، رسوب‌شناسی، گروه علوم زمین، دانشکده علوم و فناوری‌های همگرای، دانشگاه آزاد اسلامی، واحد علوم و تحقیقات، تهران، ایران.

۵. مدیر مرکز زمین‌شناسی استان گیلان، ایران.

تاریخ دریافت: ۱۴۰۰/۰۵/۳۰  
تاریخ پذیرش: ۱۴۰۱/۰۳/۰۷

### چکیده:

به منظور تعیین منشأ و خاستگاه زمین ساختی رسوبات مانداب سقلکسرا، ۷۶ نمونه سطحی و زیرسطحی مطالعه شد. ارتباط مثبت میزان  $\text{Al}_2\text{O}_3$  با میزان  $\text{O}$ ،  $\text{MgO}$ ،  $\text{Fe}_2\text{O}_3$  و همچنین، ارتباط منفی میزان  $\text{Al}_2\text{O}_3$  با  $\text{SiO}_2$  و  $\text{TiO}_2$  بر حضور این عناصر در کانی‌های رسی و میکاها دلالت دارد. در همه نمونه‌ها میزان  $\text{K}_2\text{O}$  به مرتب بیشتر است که به علت وجود فراوانی  $\text{K}$  فلدسپار نسبت به پلازیوکلازها در سنگ منشأ می‌باشد، یک بی‌نظمی در شمال غرب مانداب سبب افزایش  $\text{Na}_2\text{O}$  نسبت به  $\text{K}_2\text{O}$  شده است که به دلیل فلدسپار سدیدم دار در سنگ منشأ در رسوبات نیمه شمالی مانداب است. همچنین، افزایش شدید میزان  $\text{MgO}$  و  $\text{Fe}_2\text{O}_3$  در مقایسه با پوسته بالایی قاره‌ای نشان‌دهنده حضور کانی‌های مافیک در سنگ منشأ است. مقایسه اکسیدهای عناصر اصلی و انباتی نمونه‌ها بر دیاگرام مثبت  $\text{SiO}_2/10\text{-CaO}+\text{MgO}-\text{O}$  حاکی از این است که منشأ اصلی رسوبات هوازدگی سنگ‌های ماگمایی شوشوونیتی، داسیت، مونزونیت گابریو (عموماً ترکیب حد واسط) در مجموعه ماگماتیسم البرز است. پلات نمونه‌ها روی دیاگرام  $\text{Al}_2\text{O}_3+\text{K}_2\text{O}+\text{Na}_2\text{O}$  در مقابل  $\text{SiO}_2$  آب‌وهواي نیمه‌خشک را نشان می‌دهد. برمنای انباتی نمونه‌های مانداب بر دیاگرام‌های دوتایی اکسید عناصر اصلی، یعنی  $\text{O}$  در برابر  $\text{Al}_2\text{O}_3/\text{SiO}_2$  و  $\text{Fe}_2\text{O}_3+\text{MgO}$  در برابر  $\text{K}_2\text{O}/\text{Na}_2\text{O}$  (log  $\text{K}_2\text{O}/\text{Na}_2\text{O}$ ) در برابر  $\text{SiO}_2$  و همچنین، نمودارهای سه‌تایی عناصر فرعی  $\text{Sc}$ ،  $\text{La}$ ،  $\text{Th}$  و  $\text{Zr}$ ، به نظر می‌رسد رسوبات ابتدا از یک حوضه پشت کمانی حاشیه‌ای و سپس از یک کمان ماقمایی در حاشیه‌های قاره‌ای فعال نشات گرفته باشند. در نهایت طی کواترنری، چرخه رسوبگذاری مجدد را پس از هوازدگی و حمل به مانداب سقلکسرا پشت سر گذاشته‌اند.

**واژه‌های کلیدی:** سقلکسرا، مانداب، سنگ منشأ، البرز



## Geochemical approaches to the provenance and tectonic setting of the Quaternary sediments of Saghalak-sar bog

**Masoumeh Mojmel Renan<sup>1</sup>, Khalil Rezaei<sup>2\*</sup>, Mehran Arian<sup>3</sup>, Mohsen Aleali<sup>4</sup>, Pantea Giahchi<sup>5</sup>**

1- Department of Geoscience, Science and Research Branch, Islamic Azad University, Tehran, Iran.

2- Department of Geology, Kharazmi University, Tehran, Iran.

3- Department of Geoscience, Science and Research Branch, Islamic Azad University, Tehran, Iran.

4- Department of Geoscience, Science and Research Branch, Islamic Azad University, Tehran, Iran.

5- Guilan Center of Geoscience.

### **Abstract:**

Seventy-four surface and subsurface sediment samples from the SaghalakSar bog were investigated to decipher their tectonic setting and provenance. The  $\text{Al}_2\text{O}_3$  content showed positive correlation with  $\text{MgO}$ ,  $\text{Fe}_2\text{O}_3$ , and  $\text{K}_2\text{O}$  while it showed negative correlation with  $\text{TiO}_2$  and  $\text{SiO}_2$ , suggesting that clay minerals and mica were major hosts for these elements. Average  $\text{K}_2\text{O}$  values were higher than average  $\text{Na}_2\text{O}$  levels, reflecting that k-feldspar was proportionally more abundant than plagioclase in the source rock. A decrease in  $\text{K}_2\text{O}$  with an increase in  $\text{Na}_2\text{O}$  in the northwest bog could be interpreted as alteration of rocks, suggesting possible effect of sodium feldspar on the source rock. A strong increase in  $\text{MgO}$  and  $\text{Fe}_2\text{O}_3$  relative to average upper continental crust was consistent with mafic source rock. The results of comparing the major-element oxides with the S ( $\text{SiO}_2 / 10$ )-CM ( $\text{CaO} + \text{MgO}$ )- NK ( $\text{Na}_2\text{O} + \text{K}_2\text{O}$ ) diagram showed that the sediments had been subjected to weathering, and were derived from magmatic rocks, Shoshonite, Dacite, Monzonite, and Gabbro (usually intermediate composition) at the Alborz magmatic zone. Based on Binary plot of  $\text{SiO}_2$  versus  $\text{Al}_2\text{O}_3 + \text{Na}_2\text{O} + \text{K}_2\text{O}$  indicated semi-arid climatic condition. Binary plot of  $\text{Fe}_2\text{O}_3 + \text{MgO}$  versus  $\text{Al}_2\text{O}_3 / \text{SiO}_2$  and  $\text{TiO}_2$ ,  $\log(\text{K}_2\text{O}/\text{Na}_2\text{O})$  versus  $\text{SiO}_2$ , and ternary diagram of trace elemental, Th, Sc, La, and Zr, it seems that the sediments originated first from a marginal Back Arc basin and then from a magmatic arc in the active continental margin. Finally, during the Quaternary, they went through a recycle of sedimentation after weathering and transport to the Saghalak-Sar Bog

**Keywords:** Saghalak- Sar, bog, Provenance, ,Alborz

\*Email: drkhalilrezaei@gmail.com

Tel: +982188329220



کشور و لزوم مدیریت منابع آب و به دلیل قرار گرفتن این مانداب در نزدیکی رشت، حفظ مانداب و حل مسائل زیست محیطی آن (کنترل حجم رسوبات، پتانسیل تجمع آلودگی های بشری و طبیعی در رسوبات و.....) از اهمیت زیادی برخوردار است.

ژئوشیمی نهشته های سیلیسی آواری تابع عواملی نظری ترکیب سنگ منشأ، فرآیندهای هوازدگی، حمل و نقل و رسوب گذاری است و لذا می توان از این داده ها در تعییر و تفسیر آب و هوای ناحیه منشأ و شرایط رسوبگذاری استفاده کرد. (Condie et al., 1995) در این مطالعه نیز از آنالیز اکسیدهای اصلی جهت تعیین سنگ منشأ، جایگاه تکتونیکی و تفسیر شرایط آب و هوای دیرینه و فرآیندهای هوازدگی در رسوبات آواری مانداب سفلکسرا استفاده شده است.

## ۲- مواد و روشها

۷۰ نمونه از رسوبات در قالب ۱۳ مغزه (SL1-SL13) با استفاده از اوگرز (Augers) و ۱۲ نمونه سطحی (SW1-SW12) از رسوبات کف مانداب توسط گرب (Grab) (SW12 Sampler)، برداشت گردید (رسوبات سطحی دققاً مقابله مغزه ها برداشت شد). با توجه به اینکه امکان نمونه برداری توسط اوگر در وسط دریاچه وجود نداشت نمونه برداری مغزه ها در نوار حاشیه دریاچه و در فصل کم آب صورت گرفت (شکل ۲ و جدول ۱).

در هر مغزه نمونه ها بر اساس تغییر ظاهری اندازه دانه، رنگ و ساختهای رسوبی برداشت و در ظروف جداگانه جمع آوری گردید.

مطالعات ژئوشیمیای رسوبات و سنگهای سیلیسی آواری می تواند جهت نامگذاری، تعیین جایگاه زمین ساختی، Roser and ;1983 (Korsch , 1986, 1988; Herron, 1988; Kroonenberg , 1994; Cox et al., 1995; Fedo et al., 1995; Nesbitt and Young , 1982; Bhatia کردن نمونه ها در دمای زیر ۸۰ درجه سانتیگراد و دانه بندی، تعداد ۶۶ نمونه از رسوبات دانه ریز (کمتر از ۶۲ میکرون) از کل مغزه ها و نمونه های سطحی انتخاب و به وسیله فلورسانس اشعه ایکس XRF به منظور تعیین درصد فراوانی ۱۳ اکسید عناصر فرعی و تجزیه شده اند، لازم به ذکر است تعداد اندکی از نمونه ها که درصد گل آنها بسیار ناچیز بود به ناچار در این آنالیز

## ۱- مقدمه

بر طبق سیستم طبقه بندی کنواکسیون رامسر (Navid et al., 1989) دریاچه سفلکسرا با توجه به اینکه ارتباط با دریا ندارد، بیشتر در طبقه بندی های فوق در گروه ماندابها (Bogs) قرار میگیرد. تالاب ها و مانداب ها از نقطه نظر اقتصادی، تفرجگاهی و اکولوژیک ارزش بسیاری برای محیط اطراف خود و جوامع انسانی و جانوری دارند. براساس تعاریفی که در مورد تالاب ها وجود دارد، باید گفت تالاب ها، از مکان های منحصر بفردی هستند و دارای ویژگی های بوم شناختی خاصی بوده و از نظر قدرت تنظیم آب های زیرزمینی محیط پیرامون، شکار، صید پرندگان و ماهیان و تامین منابع علوفه دامی بسیار حائز اهمیت می باشند (Costanza et al., 2014).

فعالیت های بشری و کشاورزی باعث نابود شدن تالاب های زیادی در کل دنیا شده است، زیرا حدود ۲۷ درصد از جمعیت انسانی در ۵۰ کیلومتری رودها زندگی می کنند که باعث آسیب رساندن به رودها در مسیر ورود به تالاب و اختلالات فیزیکی، شیمیایی، دفع زباله، فرسایش منابع، رشد آبزیان می شوند این پدیده سبب شده که مطالعات گستره در دنیا در سالهای اخیر بتواند میزان تلفات مانداب ها را ۳۰ درصد کاهش دهد (Noe & Childers, 2007). بنابراین حفظ این محیط های ارزشمند مرهون مطالعه و شناخت دقیق این محیط های ارزشمند است.

در بین مطالعات گستره مانداب ها مطالعه رسوبات آن اهمیت ویژه ای دارد زیرا رسوبات جزیی، تفکیک ناپذیر از اکوسیستم تالابی هستند، آنها منابع غذایی بعضی از ارگانیسم ها بوده و از طریق فازهای آب و رسوب نقش مؤثری در آلودگی یا پالایش آبهای در گیر با رسوب ایفا می کنند و مانند آرشیوی تاریخی، در ثبت فلزات سنگین، تاریخچه آب و هوایی و سنگ منشأ و..... عمل می کنند (Sunderland et al., 2008).

مانداب سفلکسرا نیز یکی از مانداب های استان گیلان می باشد و منشا رسوبات کواترنری این مانداب ارتفاعات البرز می باشد این مانداب بخش عمده ای از آب مصرفی روستاهای اطراف را در امر کشاورزی و دامپروری و..... فراهم می کند لذا با توجه به روند افزایش خشکسالی، کاهش آبهای سطحی و زیرسطحی

سازمان زمین شناسی ارسال گردید. همچنین به منظور تکمیل مطالعات کانی شناسی از نمونه های ماسه ای مقاطع نازک تهیه و مطالعه گردید.

تایج حاصل به منظور تعیین منشأ، شرایط آب و هوایی و موقعیت تکتونیکی نهشته های رسوبی، نوع کانی ها در زمان تشکیل مورد استفاده قرار گرفت.

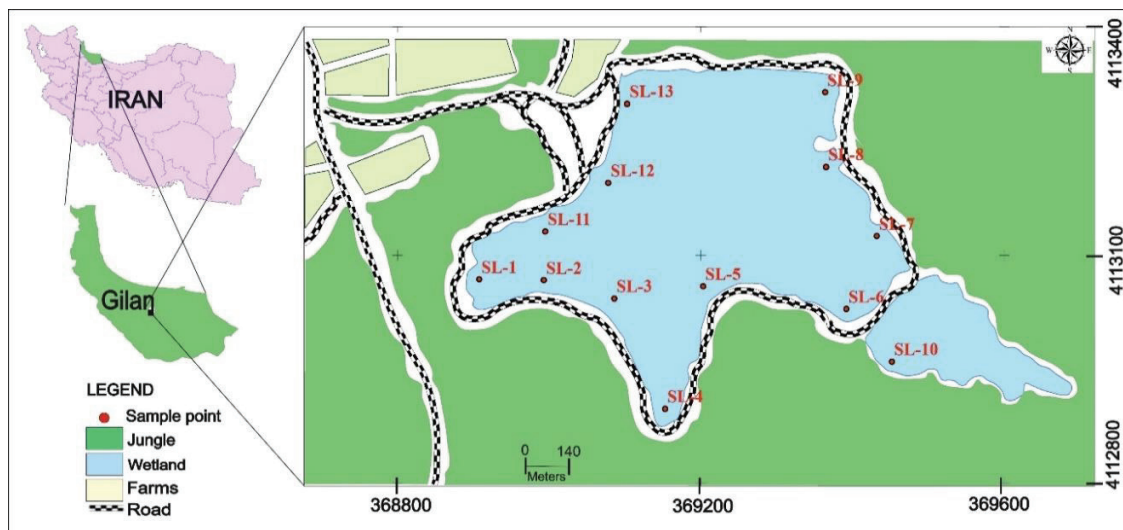
### ۳- موقعیت جغرافیایی و نقاط نمونه برداری

دریاچه سقلکسر در ۱۵ کیلومتری جنوب شهر رشت در دهستان لakan در استان گیلان در موقعیت جغرافیایی N واقع شده است (شکل ۱).

آب این دریاچه از ریزش های جوی و چشمه ساران بالادستی منطقه تامین می شود، ارتفاع دریاچه از سطح دریا ۶۴ متر است، وسعت کل حوضه به انضمام زمین های اطراف که دارای پوشش گیاهی هستند طبق گزارشات غیر رسمی حدود ۱۵ کیلومتر مربع اعلام شده است، اما در پژوهش فوق وسعت دریاچه در زمان برداشت نمونه (خرداد ماه) حدود ۰/۳ کیلومتر مربع اندازه گیری شد (شکل ۱).

کنار گذاشته شدند.

تعداد ۱۲ نمونه از رسوبات دانه ریز از مغزه های ۲ در جنوب غرب، ۹ در شمال شرق و ۱۲ در شمال غرب مانداب انتخاب و جهت تعیین فراوانی عناصر مختلف، آنالیز طیف سنج تابشی (ICP-OES,MS) صورت گرفت، نمونه های انتخابی این آنالیز به گونه ای انتخاب گردید که بتوانیم در شمال و جنوب مانداب در عمق های متفاوت نتایج را مقایسه نماییم. به منظور منظور شناسایی نوع کانیها و به ویژه کانی های رسی موجود در رسوبات فوق تعداد ۷ نمونه از رسوبات (سیلت و رس) از مغزه های ۱، ۴، ۷، ۸، ۹، ۱۰ و نمونه سطحی SW11 در آزمایشگاه سازمان زمین شناسی تهران توسط دستگاه Semens Diffractometer آنالیز XRD انجام شد، به منظور پوشش حداکثری شناسایی نوع کانی ها از هر مغزه نام برده یک نمونه در عمق های مختلف انتخاب شد. همه نمونه ها در وزن مشخص و با ذکر مشخصات فیزیکی و عمق برداشت جهت آماده سازی و آنالیز به

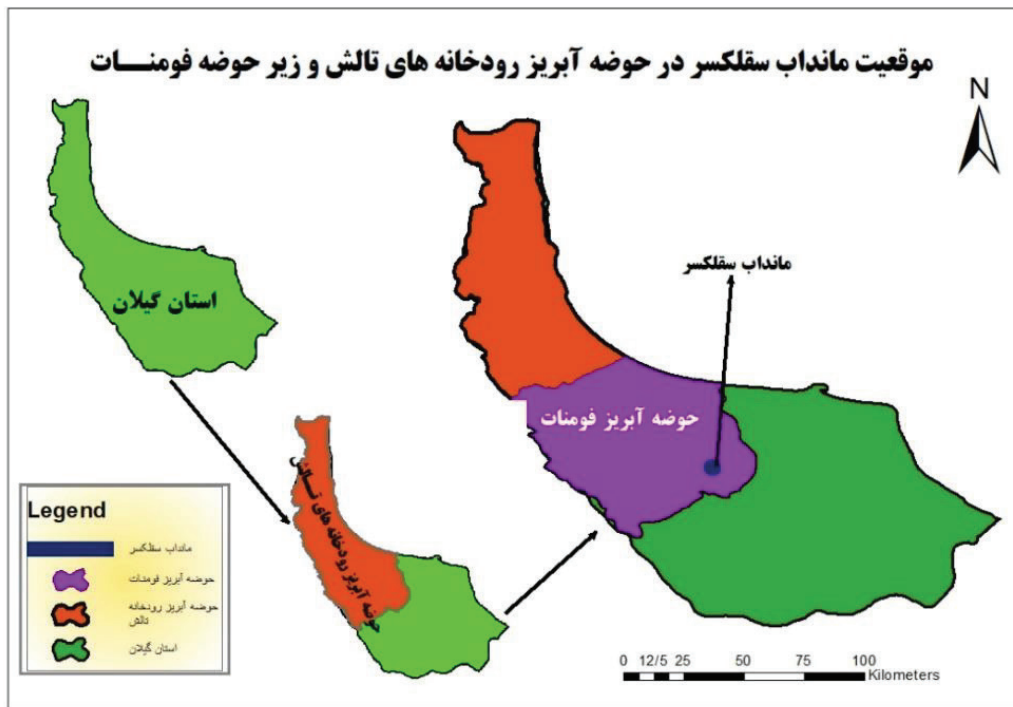


شکل ۱. موقعیت جغرافیایی مانداب سقلکسر و محل نکات برداشت نمونه (مختصات بر اساس سیستم UTM می باشد)

جای دارد و از نظر تقسیمات جغرافیایی منطقه مورد نظر بخشی از حوضه آبریز تالش و زیر حوضه فومنات است (شکل ۲).

### ۴- زمین شناسی منطقه

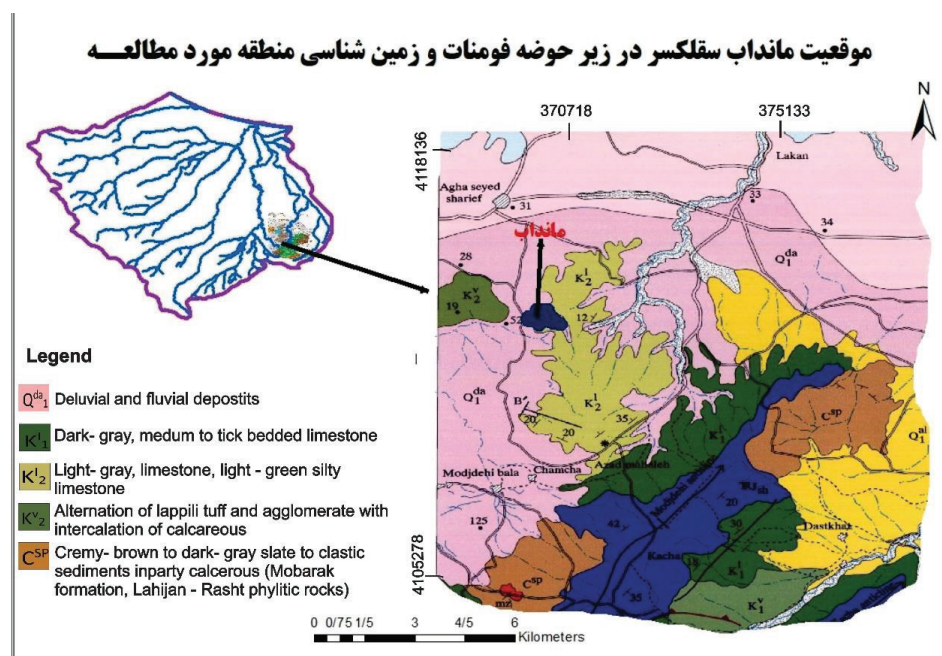
محدوده موردمطالعه در جنوب غربی شهر رشت و از نظر زمین شناسی در شمال باختری پهنه ساختاری البرز



شکل ۲. موقعیت مانداب در حوضه آبریز تالش و زیر حوضه آبریز فومن

همچنین رخساره سیلابی- رودخانه ای ( $Q^{da}_1$ ) به عنوان فرآورده های ثانویه پیامد فرسایش شدید رودخانه ای سنگها در کوه های البرز و رخساره دانه ریز ماسه ای، سیلیتی- رسی آبرفتی بیرون زدگی دارند (شکل ۳). آبراهه های وارد شده به مانداب عمدتاً از افق های آتشفشاری کرتاسه ( $K^v_2$ )، و رخساره سیلابی ( $Q^{da}_1$ ) عبور می کنند.

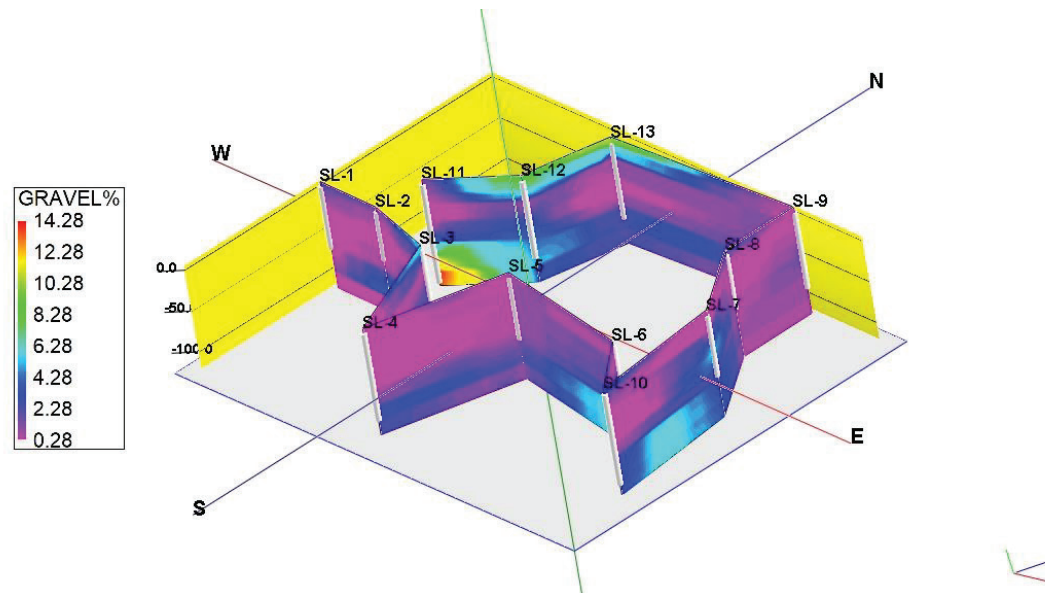
در اطراف برش مورد مطالعه (مانداب سکلکسر) شیسته ها و فیلیت های دگرگونی جنوب لاهیجان ( $C^{sp}_2$ ) با سن کربونیفر آغازین، آهک با پوسیدگی و سنگ آهک های سیلتی همراه با سیلت استون کرتاسه زیرین ( $k^l_1$ )، سنگهای آهکی میکرواسپاریتی با میان لایه هایی از سنگ آهک سیلتی و سیلت استون های کرتاسه پایانی ( $k^l_2$ )، واحد آتشفشاری کرتاسه پایانی ( $k^v_2$ )،



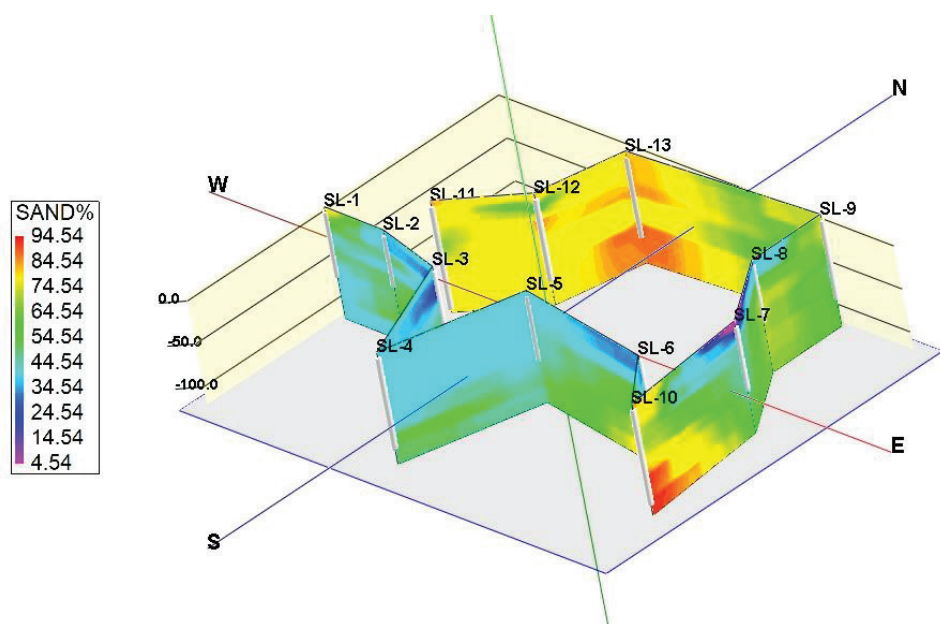
شکل ۳. موقعیت مانداب در زیر حوضه فومنات و زمین شناسی منطقه (مختصات بر اساس سیستم MTU می باشد)

## ۵-بحث

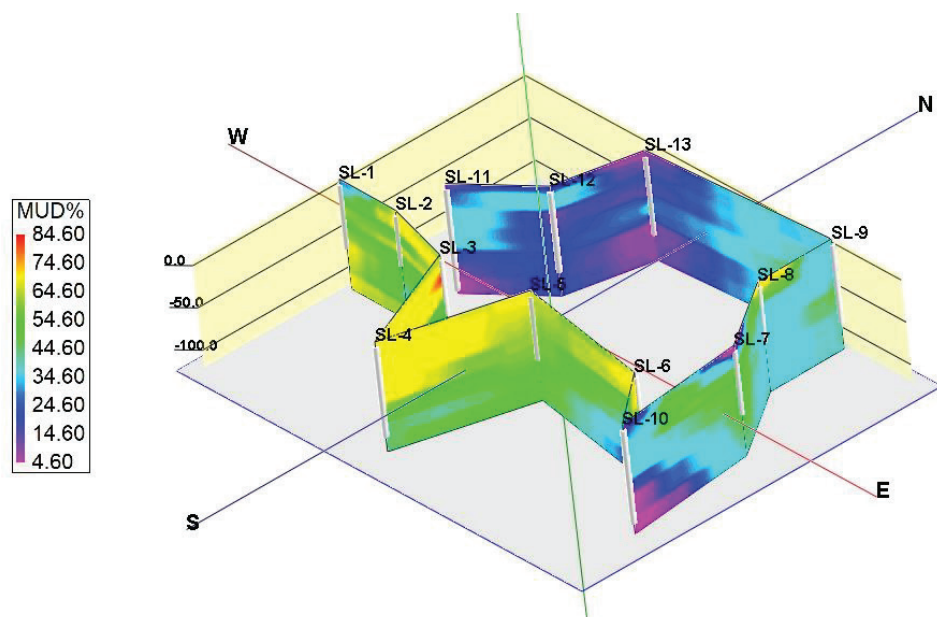
آنالیز توزیع دانه‌های رسوبی برای مقایسه نمونه‌های مختلف با یکدیگر از اهمیت خاصی برخوردار است، زیرا بدین‌وسیله می‌توان به اختصاصات مختلف رسوبات و فرایندهایی که باعث تشکیل آنها، گردیده است، پی برد (Flemming, ۲۰۰۷; Mycielska- (Dowgiałło & Ludwikowska-Kędzia, ۲۰۱۱ بنابراین پس از دانه‌بندی رسوبات و تعیین درصد وزنی هر رده از اندازه ذرات، نمودارهای پراکندگی اندازه ذرات ترسیم شده و با توجه به این نمودارها، پارامترهای آماری به دست آمد. رسوبات فوق با وجود میزان گراول کم در دیاگرام مثبتی فولک نام‌گذاری شدند. این نمونه‌ها در ۸ تیپ رسوبی شامل ماسه گلی با کمی گراول (Slightly Gravelly Muddy Sand)، گل ماسه‌ای با کمی گراول (Slightly Gravelly), گل ماسه‌ای (Sandy Mud)، ماسه گلی (Muddy Sand)، ماسه گلی گراولی (Gravelly Mud)، گل گراولی (Muddy Sand)، ماسه با کمی گراول گراولی (Slightly Gravelly) و ماسه گراولی (Gravelly Sand) طبقه‌بندی شده‌اند.



شکل ۴. تغییرات عمودی و جانی گراول در رسوبات مانداب



شکل ۵. تغییرات عمودی و جانبی فراوانی ماسه در رسوبات مانداب



شکل ۶. تغییرات عمودی و جانبی فراوانی گل در رسوبات مانداب

, 1983; Bhatia & Crook, 1986.; Roser & Korsch , (1988).

پیش از بررسی نتایج ژئوشیمی روی نمودارهای متداول و تفسیر آنها پردازش های آماری تجزیه عناصر اصلی و فرعی، صورت گرفته است. مقایسه اکسید عناصر نمونه های فوق با پوسته قاره ای بالایی (Upper Continental Crust: UCC) در جدول ۱ مشهود است.

عناصر اصلی و فرعی رسوبات آواری به عواملی مانند ترکیب سنگ منشأ، پستی و بلندی های ناحیه، آب و هوای دیرینه و دیاژنز بستگی دارد (Dey et al.,; 2009.Taylor & McLennan , 1985; Cullers , 1995 & 2000) بنابراین می توان با استفاده از نمودارهایی که به صورت تجربی توسط پژوهشگران مختلف ارائه شده است به شرایط دیرینه حوضه رسوبی پی برد (Bhatia

جدول ۱. میزان اکسید عناصر اصلی و اندیس های  $K_2O/Na_2O$  و  $Al_2O_3/TiO_2$  و  $SiO_2/Al_2O_3$  در رسوبات مانداب

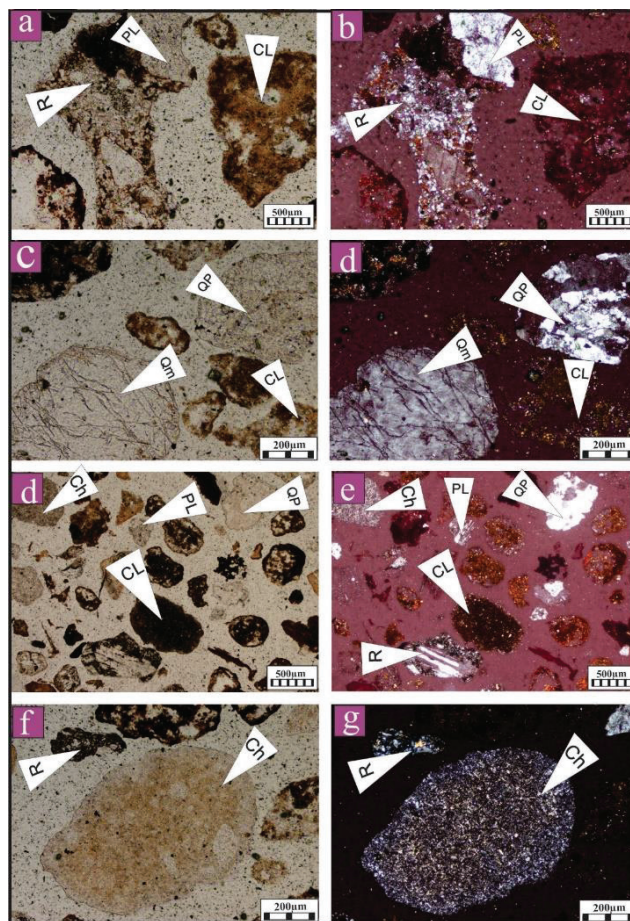
Samples	$SiO_2$	$Al_2O_3$	$Fe_2O_3$	$CaO$	$MgO$	$Na_2O$	$K_2O$	$SO_3$	$TiO_2$	$SiO_2/Al_2O_3$	$Al_2O_3/TiO_2$	$K_2O/Na_2O$	ICV
<b>SL1-1</b>	65.7	13.7	6.1	0.5	1.1	0.8	1.9	0.1	1.2	4.7	11.4	2.3	0.8
<b>SL1-2</b>	62.7	14.4	7.5	0.6	1.1	0.7	2.1	0.1	1.2	4.3	12	3	0.9
<b>SL1-3</b>	65.2	13.8	7	0.6	1.2	0.8	2.1	0.1	1.2	4.7	11.5	2.6	0.9
<b>SL1-4</b>	66.9	14.1	6	0.5	1.2	0.9	2.2	0.1	1	4.7	14.1	2.4	0.8
<b>SL2-1</b>	66.4	13.5	6.4	0.5	1.2	0.8	2.1	0.1	1.3	4.9	10.3	2.6	0.9
<b>SL2-2</b>	67.2	13.6	5.1	0.5	1.2	0.9	2	0.1	1.2	4.9	11.3	2.2	0.8
<b>SL2-3</b>	68.3	13.6	5.7	0.4	1.1	0.9	2	0.1	1.1	5.0	12.3	2.2	0.8
<b>SL2-4</b>	67.2	13.4	6.9	0.5	1.1	0.9	2.1	0.1	1.2	5.0	11.1	2.3	0.9
<b>SL2-5</b>	65.9	14.2	6.9	0.5	1.2	0.8	2.3	0.1	1.2	4.6	11.8	2.8	0.9
<b>SL3-1</b>	66.1	13.4	5.4	0.4	1.1	0.8	2.1	0.1	1.2	4.9	11.16	2.62	0.8
<b>SL3-2</b>	68	13.5	5.9	0.5	1.1	0.7	2.2	0.1	1.2	5.0	11.25	3.14	0.7
<b>SL3-3</b>	64.2	14.9	7	0.5	1.2	0.7	2.1	0.1	1.2	4.3	12.41	3	0.8
<b>SL4-1</b>	67.4	13.6	6.2	0.4	1.1	0.8	2.2	0.1	1.4	4.9	9.7	2.7	0.9
<b>SL4-2</b>	65.4	14.6	6.6	0.5	1.2	0.7	2.2	0.1	1.3	4.4	11.2	3.1	0.8
<b>SL4-3</b>	64.5	15.3	6.9	0.4	1.2	0.8	2.2	0.1	1.2	4.2	12.7	2.7	0.8
<b>SL4-4</b>	64	15.3	7.2	0.4	1.3	0.7	2.2	0.1	1.1	4.1	13.9	3.1	0.8
<b>SL4-5</b>	63.6	15.1	7.4	0.4	1.2	0.7	2.5	0.1	1.2	4.2	12.5	3.5	0.8
<b>SL5-1</b>	67.5	13.7	5.9	0.5	1.1	0.7	2.1	0.1	1.4	4.9	9.7	3	0.8
<b>SL5-2</b>	63.4	15.4	7.6	0.6	1.2	0.6	2.1	0.1	1.3	4.1	11.8	3.5	0.8
<b>SL6-1</b>	65.2	13.8	5.8	0.5	1.1	0.7	2	0.1	1.2	4.8	11.5	2.3	0.8
<b>SL6-2</b>	67.3	14.2	6.2	0.4	1	0.8	2	0.1	1.2	4.7	11.8	2.5	0.8
<b>SL6-3</b>	65.5	15.1	6.7	0.4	1.1	0.7	2	0.1	1.1	4.3	13.7	2.8	0.8
<b>SL6-4</b>	59.2	17.5	8.1	0.5	1.4	0.7	2.1	0.1	1	3.3	17.5	3	0.7
<b>SL6-5</b>	65.4	15.2	6.6	0.5	1.1	0.8	2.1	0.1	1.2	4.3	12.6	2.6	0.8
<b>SL6-6</b>	58.6	17.3	8	0.8	1.7	0.8	2.2	0.1	1.1	3.3	15.7	2.7	0.8
<b>SL7-2</b>	66.4	13.4	6.3	0.7	1.1	1	2.4	0.1	1.2	4.9	11.1	2.4	0.9
<b>SL7-3</b>	66.8	14.1	6.2	0.6	1.2	0.9	2.3	0.1	1.1	4.7	12.8	2.5	0.8
<b>SL7-4</b>	63.2	14.9	7.9	0.7	1.3	0.8	2.2	0.1	1.1	4.2	13.5	2.7	0.9
<b>SL8-1</b>	69.7	12.7	5.1	0.5	0.9	1	2	0.1	1.2	5.4	10.5	2	0.8
<b>SL8-2</b>	64.5	13.9	7.4	0.7	1	0.8	1.9	0.1	1.2	4.6	11.5	2.3	0.9
<b>SL8-3</b>	57.1	17.2	9.3	0.7	1.3	0.5	2.1	0.1	1	3.3	17.2	4.2	0.8
<b>SL8-4</b>	59	16.4	9.2	0.6	1.2	0.6	2	0.1	1.1	3.5	14.9	3.3	0.8
<b>SL9-1</b>	62.9	14.3	6.8	0.8	1.4	1	2.4	0.1	1.2	4.3	11.9	2.4	0.9
<b>SL9-3</b>	60.4	15.5	7.8	0.9	1.6	0.7	2.3	0.1	1.2	3.8	12.9	3.2	0.9
<b>SL9-4</b>	61.7	14.8	7.5	0.9	1.6	0.8	2.2	0.1	1.2	4.1	12.3	2.7	0.9

<b>SL10-1</b>	59.1	15	7.9	0.9	1.6	0.6	2	0.1	1.3	3.9	11.5	3.3	0.9
<b>SL10-2</b>	57.8	15.3	9.5	0.8	1.6	0.5	1.9	0.1	1.3	3.7	11.7	3.8	1.04
<b>SL10-3</b>	55.5	16.4	10.7	0.8	1.7	0.5	1.8	0.1	1.2	3.3	13.6	3.6	1.0
<b>SL10-4</b>	50.5	14.7	16.4	1	1.4	0.4	2.2	0.1	1.6	3.4	9.1	5.5	1.5
<b>SL10-5</b>	54.7	17	10.2	0.8	1.7	0.5	1.9	0.1	1.1	3.2	15.4	3.8	0.9
<b>SL10-6</b>	56.7	16.5	9.1	0.7	1.5	0.6	2.2	0.1	1.1	3.4	15	3.6	0.9
<b>SL11-1</b>	67.5	12	4.9	0.4	0.9	0.9	1.9	0.1	1.2	5.6	10	2.1	0.8
<b>SL11-2</b>	69.9	12.9	4.8	0.5	1	0.9	1.9	0.1	1.2	5.4	10.7	2.1	0.8
<b>SL11-3</b>	68.7	13.1	5.7	0.5	1	0.9	2	0.1	1.3	5.2	10.0	2.2	0.8
<b>SL11-4</b>	68.7	13.8	5.5	0.5	1.1	0.9	2	0.1	1.2	4.9	11.5	2.2	0.8
<b>SL11-5</b>	64.5	15.1	7.1	0.5	1.2	0.9	2.3	0.1	1.1	4.2	13.7	2.5	0.8
<b>SL12-1</b>	62.9	14.6	7.9	0.8	1.1	0.7	1.9	0.1	1.2	4.3	12.1	2.7	0.9
<b>SL12-2</b>	56.3	13.8	7.7	4.7	1.2	0.8	2.1	0.1	1	4.0	13.8	2.6	1.2
<b>SL12-3</b>	58.6	16.3	9.1	0.9	1.3	0.8	2.5	0.1	1.2	3.5	13.5	3.1	0.9
<b>SL12-4</b>	59.2	17.6	8.3	0.7	1.5	0.7	2.5	0.1	1.1	3.3	16	3.5	0.8
<b>SL13-2</b>	54.8	14.2	10.4	2.5	1.2	0.5	2.3	0.1	1.2	3.8	11.8	4.6	1.3
<b>SL13-3</b>	55.8	15.1	9.7	2.1	1.3	0.8	2.4	0.1	1.1	3.6	13.7	3	1.1
<b>SL13-4</b>	57.6	17.3	8.1	1.3	1.7	0.7	2.2	0.1	1.1	3.3	15.7	3.1	0.8
<b>SL13-5</b>	67	13.8	4.8	0.6	1.2	1	2.1	0.1	1.1	4.8	12.5	2.1	0.7
<b>SL13-6</b>	58	17.4	8.2	1.1	1.7	0.6	2.2	0.1	0.9	3.3	19.3	3.6	0.8
<b>SW2</b>	64.6	13.8	5.7	0.6	1.2	0.8	2	0.2	1.2	4.6	11.5	2.5	0.8
<b>SW3</b>	67.8	13.7	5.3	0.5	1.1	0.8	2.1	0.1	1.1	4.9	12.4	2.6	0.8
<b>SW4</b>	67.9	13.1	5.5	0.6	1	0.8	2.1	0.1	1.3	5.1	10.0	2.6	0.8
<b>SW5</b>	67.5	13.5	5.5	0.5	1	0.9	2	0.1	1.2	5	11.2	2.2	0.8
<b>SW6</b>	67.2	13.4	5.6	0.6	1.1	0.9	2.2	0.1	1.1	5.0	12.1	2.4	0.8
<b>SW7</b>	64.8	14	6.5	0.7	1.2	0.8	1.9	0.1	1.2	4.6	11.6	2.3	0.8
<b>SW8</b>	60.7	14.8	6.9	0.8	1.5	0.8	2.3	0.1	1.2	4.1	12.3	2.8	0.9
<b>SW9</b>	68.6	13.2	5.5	0.5	1	0.8	2	0.1	1.1	5.1	12	2.5	0.8
<b>SW10</b>	62.6	14	7.1	0.7	1.4	0.7	1.8	0.2	1.5	4.4	9.3	2.5	0.9
<b>SW11</b>	52	13.9	8.3	5.2	1.1	0.7	2	0.2	1.1	3.7	12.6	2.8	1.3
<b>SW12</b>	57	15	7.5	1.7	1.3	0.7	2.1	0.2	0.9	3.8	16.6	3	0.9
<b>AVEREG</b>	63.1	14.6	7.2	0.8	1.2	0.8	2.1	0.1	1.2	4.2	12.5	2.8	0.92
<b>UCC</b>	66.6	15.4	2	3.6	2.5	3.3	2.8		0.6	4.3	25.67	.8	

اما اجزای دیگری از جمله قطعات فرسایشی آذرین، قطعات فرسایشی پیروکسن، چرت، نیز دیده می شود (شکل ۷). همچنین نتایج حاصل از آزمایش های XRF رسوبات دانه ریز نشان می دهد که کوارتز، فلدسپار، ایلیت و کلریت حاصل از هوازدگی و آبشویی سنگ های آذرین به ترتیب فراوان ترین کانی های موجود در نمونه های آنالیز شده هستند.

### ۱-۵-کانی شناسی رسوبات ماندار

نتایج حاصل از مطالعات مقاطع نازک تهیه شده از نمونه های ماسه (به عنوان نمونه یک مورد در شکل ۷ آورده شده است)، حاکی از آن است که در این رسوبات فراوان ترین کانی های کوارتز مونوکریستال با حاشیه رشدی حاصل چرخه مجدد رسوبگذاری و پلیکریستال، فلدسپار (پلاژیو کلاز و ارتو کلاز) است



شکل ۷. کانی شناسی نمونه SL8-4 CL: سنگ منشأ، QM: کانی رسی، QM: کوارتز مونو کریستال، PL: پلازیوکلаз، QM: کوارتز مونو کریستال، CH: چرت، R: روتل، (تصاویر سمت راست نور پلاریزان و تصاویر سمت چپ نور طبیعی هستند)

بالایی قاره ای می باشد که حاکی از انهدام فلدسپارها در نتیجه هوازدگی شیمیایی در منشا یا حین فرایند حمل می باشد (Oni et al., 2014)، همچنین میزان  $K_2O$  از  $Na_2O$  به مراتب بیشتر است که می تواند به دلیل وجود فراوانی فلدسپار پتابسیم یا میکا نسبت به پلازیوکلаз ها در سنگ منشأ باشد، تنها یک بی نظمی در میزان این دو عنصر در مغزه ۱۲ و ۱۳ دیده می شود که سبب افزایش  $Na_2O$  نسبت به  $K_2O$  شده است که به تاثیر فلدسپار سدیدم دارد در سنگ منشأ این رسوبات بر می گردد (Armstrong-Altrin et al., 2004) میانگین  $MgO$  ۱/۲ است که از پوسته بالایی قاره ای (۲/۲) کمتر است اما مقایسه میزان  $Fe_2O_3$  در نمونه های موجود با پوسته بالایی قاره ای نشان می دهد که میزان این عنصر در نمونه های بیشتر و نشان دهنده هوازدگی کانی های آهن دار در طول فرسایش و حمل باشد و حضور کانی های مافیک در سنگ منشأ

### ۵-۲-سنگ منشأ

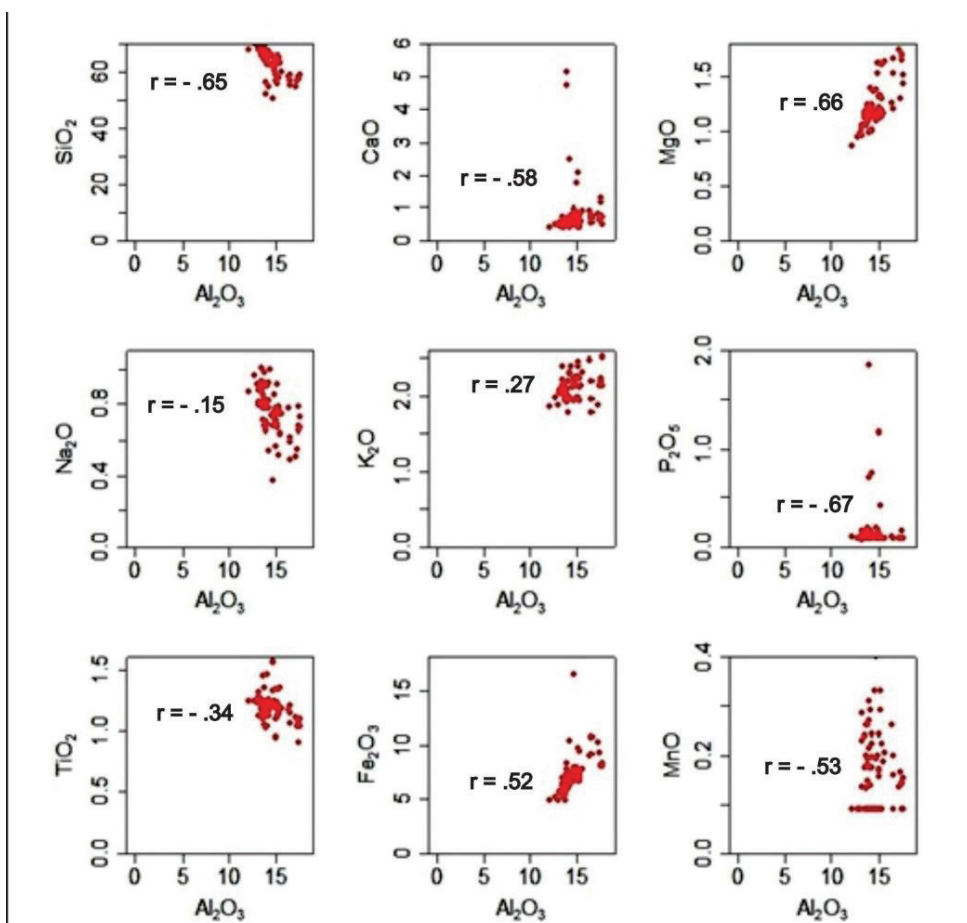
همان گونه که در جدول شماره ۱ مشخص است، مقدار میانگین  $SiO_2$  در رسوبات مانداب ۶۳/۱ است. میزان این اکسید در اغلب مغزه ها نسبت به میانگین این اکسید در پوسته قاره ای بالایی برابر یا اندکی کمتر است و نشانگر بلوغ متوسط تا خوب است در مغزه های ۹ و ۱۲ و ۱۳ در شمال غرب و شمال شرق مانداب مقدار این اکسید بسیار کمتر از پوسته قاره ای بالایی است که نشان دهنده بلوغ ضعیف رسوبات Talor & McLennan, (1985)، میانگین  $CaO$  کمتر از میانگین پوسته بالایی قاره است تنها در مغزه ۱۲ و رسوبات سطحی ۱۱ واقع در شمال غرب مانداب مقدار این اکسید از میانگین پوسته قاره ای بیشتر است که سبب کاهش میزان  $SiO_2$  در این نقاط شده است. میزان  $Na_2O$  و  $K_2O$  در اغلب نمونه ها کمتر از پوسته

نمودارهای ترسیمی ژئوشیمی از جمله ارتباط  $\text{Al}_2\text{O}_3$  با بقیه اکسیدهای موجود را می‌توان برای تفسیر منشاء رسوبات به کاربرد لذا این نمودارها برای رسوبات دانه‌ریز فوق ترسیم شدند (شکل ۸) و محاسبه رگرسیون خطی و ضریب همبستگی ( $r$ ) نشان دهنده ارتباط میزان  $\text{TiO}_2$ ,  $\text{SiO}_2$ ,  $\text{MgO}$ ,  $\text{Fe}_2\text{O}_3$ ,  $\text{K}_2\text{O}$  با  $\text{Al}_2\text{O}_3$  مثبت و با  $\text{Na}_2\text{O}$ ,  $\text{Fe}_2\text{O}_3$ ,  $\text{K}_2\text{O}$ ,  $\text{Al}_2\text{O}_3$ ,  $\text{Na}_2\text{O}$  منفی است. رابطه مثبت  $\text{Al}_2\text{O}_3$  می‌تواند به دلیل حضور این عناصر در کانی‌های رسی و میکاهای باشد که در اثر هوازدگی در حین حمل و فرسایش حاصل شده‌اند، همچنین همبستگی مثبت با  $\text{K}_2\text{O}$  می‌تواند نمایانگر یک فاز غنی از آلمینیم بهویژه ایلیت باشد.

است. میانگین  $\text{TiO}_2$  (۱/۲۳) در همه نمونه‌ها از پوسته بالایی قاره بیشتر است که نشان دهنده حضور قطعات ایلمنیت، اسفن در رسوب است (Armstrong-Altrin et al., 2004).

میانگین  $\text{Al}_2\text{O}_3$  حدود ۱۴/۶ می‌باشد که تقریباً برابر با میانگین پوسته قاره‌ای بالایی است و بین ۱۲ (در مغزه ۱۱) تا ۱۷/۵ (در مغزه ۱۰ و ۶) متغیر است.

طبق نظر Lee و همکارانش (Lee et al., 2005) کاهش  $\text{Fe}_2\text{O}_3$  و  $\text{SiO}_2$  و  $\text{Na}_2\text{O}$  و افزایش  $\text{Al}_2\text{O}_3$  و  $\text{CaO}$  نشان دهنده افزایش هوازدگی در طول فرایند حمل و تولید رس‌های ساده و اکسید آلمینیم و اکسید آهن در اثر تجزیه رس‌های پیچیده کانی‌های غیر رسی است. (Babeesh et al., 2017) بر اساس مطالعات Babeesh



شکل ۹. نمودارهای دوتایی تغییرات  $\text{Al}_2\text{O}_3$  در مقابل اکسیدهای دیگر

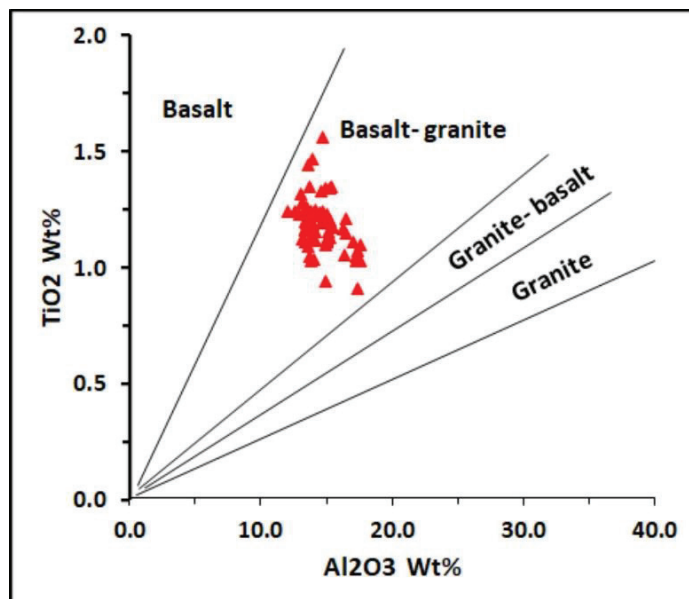
Felcic (neous) و از ۲۱ تا ۷۰ بر سنگهای آذرین فلسيك (igneous) دلالت می نماید (Hayashi et al., 1997). اين آنديس در رسوبات فوق بین ۹ تا ۱۶ می باشد که نشان دهنده منشأ سنگهای آذرین حدوداً (Intermediate ig-neous) رسوب فوق است.

بر اساس نمودار  $TiO_2$  در مقابل  $Al_2O_3$  منشأ رسوبات را به چهار دسته سنگهای بازالتی، بازالت گرانیت، گرانیت بازالت و گرانیت طبقه بندی کرد (Amajor, 1987). نمونه های مورد مطالعه نمونه ها در ناحیه بازالت - گرانیتی قرار می گیرند (شکل ۹).

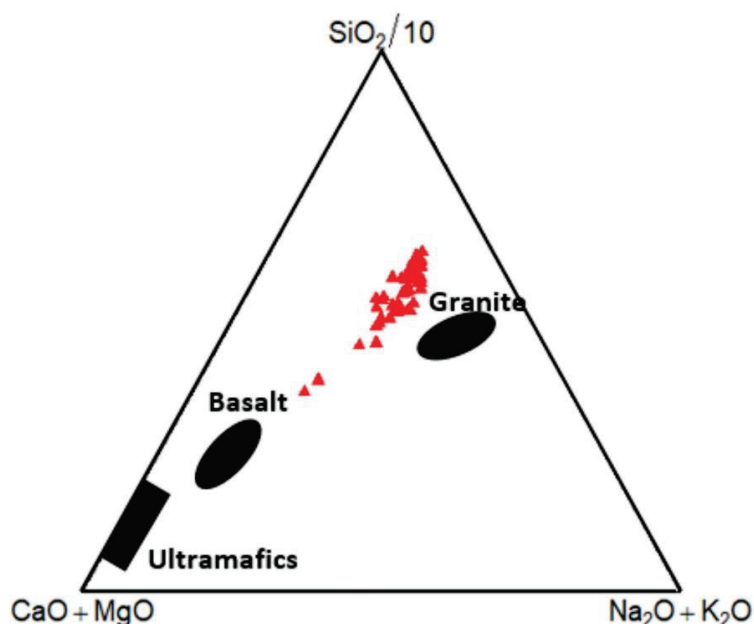
با استفاده از نمودار مثلثی  $SiO_2/10-CaO+MgO-Na_2O+K_2O$  نیز می توان در رابطه با سنگ مادر سنگهای رسوبی آواری اظهار نظر کرد (Taylor & Mc-Lennan, 1985). بر این اساس نمونه های مورد مطالعه در محدوده سنگهای منشأ در محدوده بین بازالت و گرانیت قرار می گیرند (شکل ۱۰).

نسبت  $SiO_2/Al_2O_3$  نیز یک آنديس مورد استفاده برای تعیین بلوغ رسوب است (Potter, 1978) اين میزان در طی هوازدگی، حمل و نقل و چرخه مجدد، در نتیجه افزایش کوارتز نسبت به اجزای ناپایدار مثل فلدسپار و قطعات سنگی افزایش می یابد. نسبت  $SiO_2/Al_2O_3$  بیشتر از ۵ الی ۶ در سنگهای رسوبی، نشان دهنده بلوغ رسوبی بالا است (Roser et al., 1996). میانگین این نسبت در نمونه های فوق بین ۳/۵ در مغزه ۱۲ تا ۵/۵ در مغزه ۱۱ متغیر است، به طور کلی این آنديس نشان می دهد در مغزه های ۱۲ و ۱۳ در شمال غرب مانداب این آنديس کاهش می یابد و نشانگر بلوغ کانی شناسی ضعیف و مسافت حمل و هوازدگی کمتر سنگ منشأ می باشد (Roser et al., 1996).

در رسوبات سیلیسی آواری نسبت  $Al_2O_3/TiO_2$  بر ترکیب سنگ منشأ تاکید دارد، به طوری که این نسبت از ۳ الی ۸ بر سنگهای آذرین مافیک (Mafic igneous)، از ۸ الی ۲۱ بر سنگهای آذرین حدوداً (Intermediate ig-



شکل ۹. انطباق نمو نه های رسوبی روی نمودار دو تایی درصد  $TiO_2$  در مقابل  $Al_2O_3$  (Amajor, 1987)



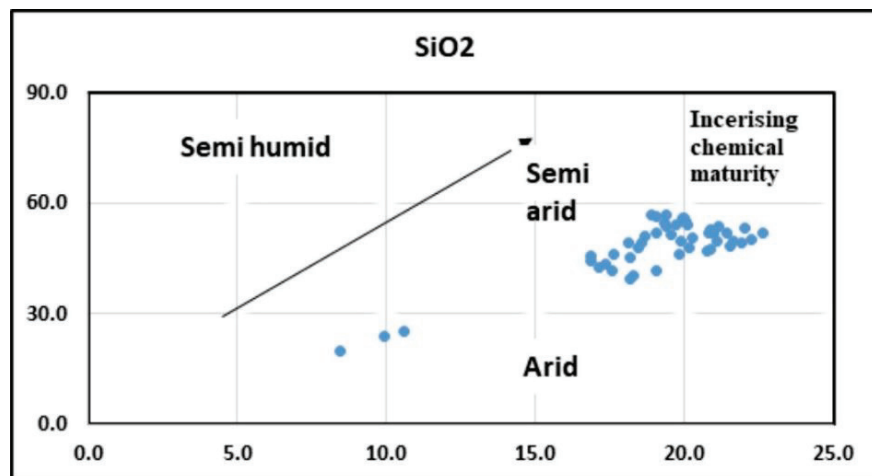
شکل ۱۰. انطباق نمونه ها روی دیاگرام مثلثی  $\text{SiO}_2/10 - \text{CaO} + \text{MgO} - \text{Na}_2\text{O} + \text{K}_2\text{O}$  (Taylor & McLennan, 1985)

بدست آمده از مطالعات ژئوشیمیایی ، مقاطع نازک و نقشه زمین شناسی منطقه، منشأ اولیه رسوبات آواری مانداب عمدتا همین مجموعه سنگهای ماگمایی البرز می باشد که گاهها بعد از قرار گرفتن در سنگهای رسوبی و رسوبات کواترنری البرز و جابجایی طی چرخه مجدد رسوبی به این مانداب حمل شده اند.

### ۳-۵-آب و هوای دیرینه

پلات نمونه ها روی دیاگرام  $\text{SiO}_2 - \text{Al}_2\text{O}_3 + \text{K}_2\text{O} + \text{Na}_2\text{O}$  آب و هوای نیمه خشک را برای منطقه فوق نشان می دهد (Suttner & Dutta, 1956)، (شکل ۱۱).

منطقه البرز با روند E-W در شمال ایران یک زون ماگمایی سنوزوئیک است که در زمان پرمین با بازالت های قلیایی شروع و در اواخر کرتاسه با سنگهای قلیایی در البرز غربی و نهایتاً رویداد آتشفسانی ائوسن ادامه یافته است، رویداد ائوسن اصلی ترین فرایند ماگماتیسم است و شامل سنگهای شوشوئیتی کالک الکالن با پتانسیم فراوان، داسیت و مونزونیت گابر و می باشد این سنگها ابتدا در یک حوضه پشت کمانی دچار شرایط زمین ساخت کششی (ائوسن پیشین و میانی) و سپس کمان ماگمایی (ائوسن پسین) تشکیل شده اند (Asiabinha & Foden , 2012)



شکل ۱۱. انطباق نمونه ها روی نمودار  $\text{Al}_2\text{O}_3 + \text{K}_2\text{O} + \text{Na}_2\text{O} - \text{SiO}_2$  (Suttner & Dutta, 1956)

با استبرای بیش از چهار کیلومتر در شمال ایران را به واسطه بخش تریاس پسین توالی آن (شامل سازندهای اکراسر، لاله بند و کلاریز در البرز شمالی و سازند شهمیرزاد در البرز جنوبی) یک توالی همزمان با کوهزایی سیمیرین پیشین می دانند که در حوضه پیش بومی حاشیه ای حاصل از برخورد نهشته شده است. در نتیجه حرکات کوهزایی آلپ و فعالیت گسل های راندگی، یک نوار چین خورده گسل خورده در حاشیه شمالی ایران ایجاد شده که شامل کوههای البرز و یتالود است. شروع حرکات آلپ پسین در حاشیه شمال ایران موجب کوتاه شدن گسلی بیشتر پوشش رسوبی در این حاشیه شده و در نتیجه آن گسل های راند نسل سوم فعال شده و نوار چین خورده گسلیده فعالیت مجدد خود را آغاز نموده است (رحیمی، ۱۳۷۱) فعالیت نوار چین خورده گسل خورده موجب خمث لیتوسفر و پسروی دریا به سمت جنوب و تشکیل حوضه های کولابی در حوضه پیش بومی میشود که در نتیجه باعث تشکیل نهشته های رسوبی به صورت پراکنده در محیط های قاره ای میگردد.

جایگاه زمین ساختی تحت تأثیر عواملی مانند فرایندهای رسوب گذاری، دیاژنز و ترکیب رسوب است از این رو در بررسی منشا تکتونیکی رسوبات از روشهای گوناگون پترولوزی و ژئوشیمی استفاده می شود به این دلیل که مراحل تکتونیک صفحه ای سهم زیادی در نشانه های ژئوشیمیایی بر جا ماده دارند (Oni et al., 2014).

۱- انطباق نمونه های مانداب بر روی دیاگرام های  $\text{Fe}_2\text{O}_3 + \text{MgO}$  در مقابل درصد  $\text{Al}_2\text{O}_3 / \text{SiO}_2$  (شکل ۱۲) و دیاگرام دو تایی  $\text{TiO}_2$  در مقابل درصد  $\text{Fe}_2\text{O}_3 + \text{MgO}$  (شکل ۱۳) نشان می دهد که رسوبات فوق بیشتر متمایل به جزایر کمانی، کمان ماگمایی و البته تعدادی از نمونه ها در حاشیه قاره ای فعال هستند (Babeesh .et.al,2017; Bathia & Crook, 1986)

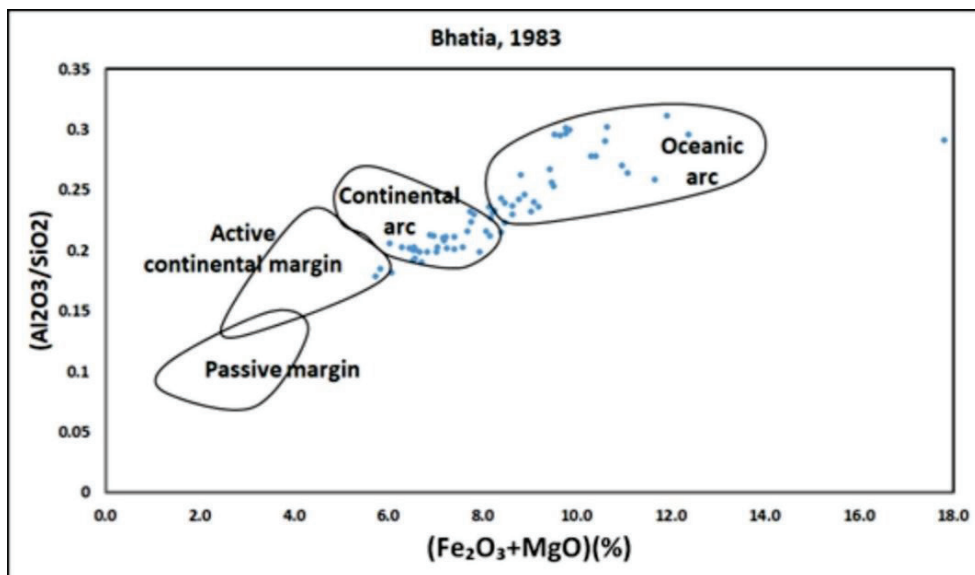
Cox et al, 1995)، جهت تعیین رسوبات مربوط به چرخه اول رسوبی یا رسوبات حاصل از چرخه مجدد، اندیس تنوع ترکیبی را بر اساس عناصر به صورت زیر تعریف کردند:

$$\text{ICV} = [(\text{Fe}_2\text{O}_3 + \text{K}_2\text{O} + \text{Na}_2\text{O} + \text{CaO} + \text{MgO} + \text{MnO} + \text{TiO}_2) / \text{Al}_2\text{O}_3]$$

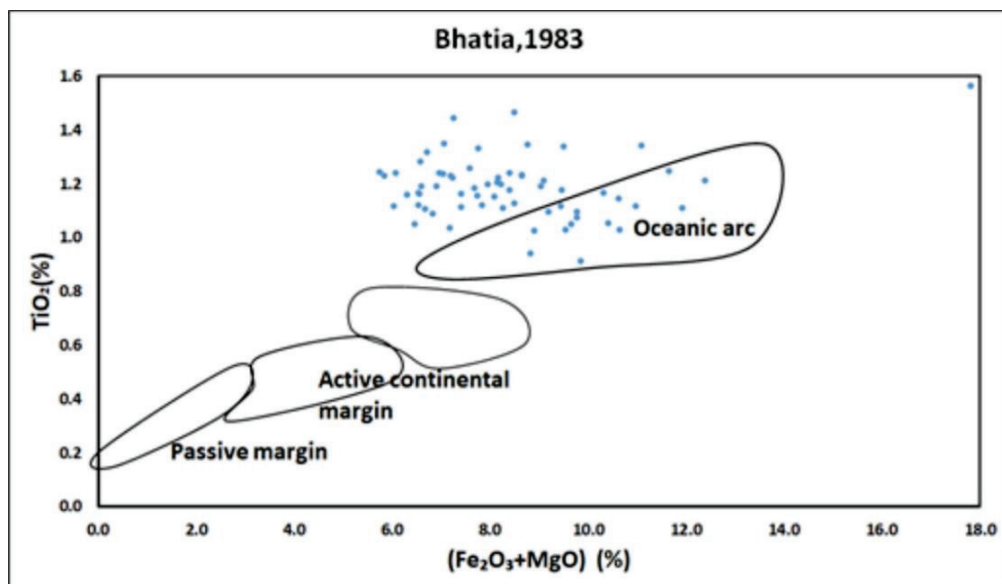
در این اندیس اکسید آهن و منیزیم نیز محاسبه می شود و میزان آن برای تغیرات ترکیبی بازالت ها و گرانیت ها به ترتیب  $2/2$  و  $0/95$  می باشد (Lee, 2002)، همچنین این اندیس می تواند بلوغ کانی شناسی را نشان دهد اگر مقدار این شاخص بیشتر از یک باشد نمایانگر رسوباتی با عدم بلوغ ترکیب کانی شناسی است که در چرخه اول رسوبگذاری اتفاق می افتد و اگر کمتر از یک باشد رسوباتی با بلوغ ترکیب بالا می باشد که در محیط ساکن تکتونیکی یا کراتون با باز چرخش فعال قرار دارند (Crook, 1974). این شاخص برای همه نمونه های فوق کمتر از یک است (حدود  $0/8$ ) که بیانگر رسوباتی با بلوغ ترکیب کانی شناسی خوب با چرخه دوم رسوبگذاری است تنها مغزه های  $10/12$  و  $13/14$  نمونه های سطحی  $11/11$  که اندیس بالاتر از یک و بلوغ کانی شناسی ضعیف دارند و حاصل چرخه اول رسوبگذاری می باشند و حاصل تغیرات یک سنگ گرانیتی تا حد واسطه هستند.

#### ۴- جایگاه زمین ساختی

تکتونیک صفحه ای، زمینه ای برای تکامل کلی حوضه های پیش بوم در حاشیه های فعال است. تشکیل و تکامل حوضه های پیش بومی ابتدا با فرایندهای فشرده شدن، تجمع و کوتاه شدن در نزدیک کوهزایی همراه است (Saengsrichanet al., 2011) برخورد صفحه سیمیرین با لوراسیا از کربونیفر پیشین شروع شده و در تریاس پسین پایان یافته، در محل برخورد در شمال صفحه سیمیرین (Alavi, 1991) یک حوضه پیش بوم ایجاد شده است (Fursich et al. 2009) گروه شمشک



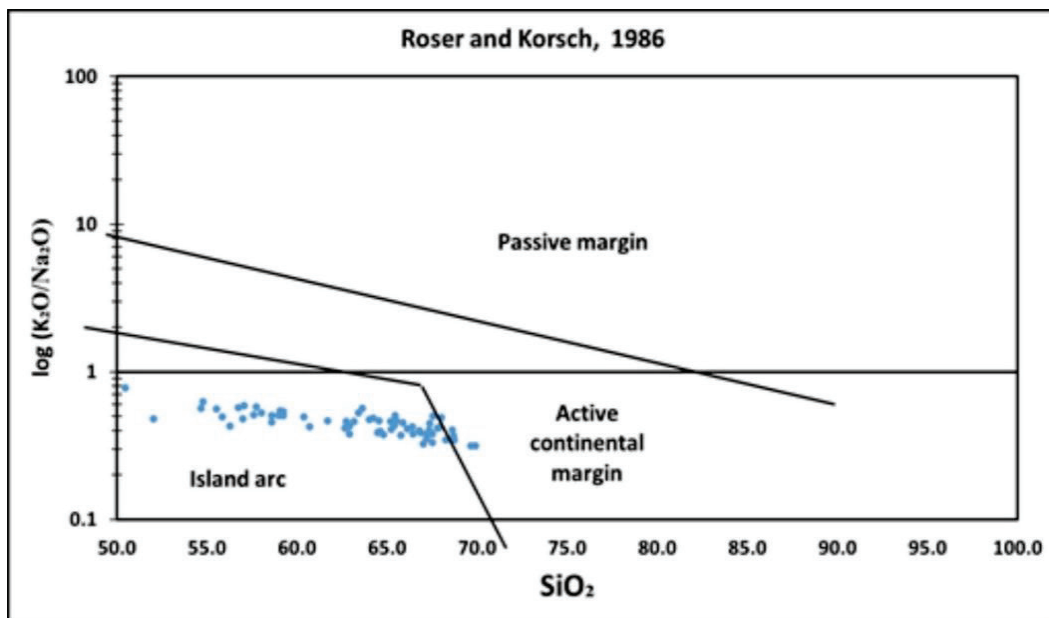
شکل ۱۲. انطباق نمونه های موجود بر روی نمودار دو بعدی  $\text{Fe}_2\text{O}_3+\text{MgO} - \text{Al}_2\text{O}_3/\text{SiO}_2$



شکل ۱۳. انطباق نمونه ها روی نمودار دو بعدی  $\text{Fe}_2\text{O}_3+\text{MgO} - \text{TiO}_2$

زمین ساختی رسوبات با استفاده از  $(\log \text{K}_2\text{O}/\text{Na}_2\text{O})$  در مقابل  $\text{SiO}_2$  حاکی از خاستگاه زمین ساختی جزایر کمانی و حاشیه قاره ای فعال می باشد (شکل ۱۴).

-۲- پلات نمونه های موجود بر روی نمودار دو بعدی Babeeesh .et.al,2017; Das .et.al,( 2008; Roser & Korsch , 1986 روسر و کورش ( 2008; Roser & Korsch , 1986 جهت تعیین جایگاه



شکل ۱۴. انطباق نمونه ها روی نمودار  $\text{SiO}_2 - \log(\text{K}_2\text{O}/\text{Na}_2\text{O})$

برابر است تنها تفاوت در مغزه ۱۲ در عمق ۲۰ تا ۳۰ سانتی متر است که مقدار Ta کاهش و مقدار Sr و Hf افزایش می یابد و ارتباط بین عناصر فوق می تواند در تعیین جایگاه زمین ساختی سنگ منشأ کمک کند (جدول ۲ و شکل ۱۵).

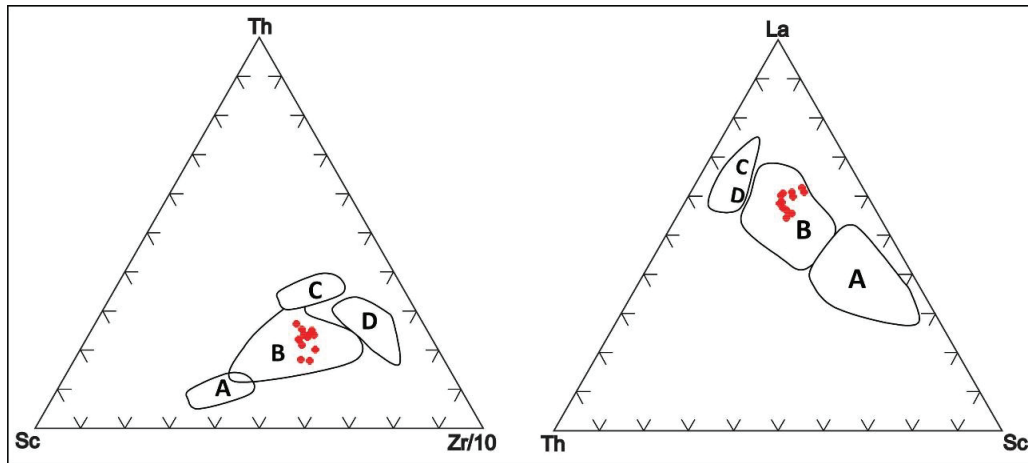
۳- مقایسه عناصر فرعی رسوبات گستره مورد مطالعه نسبت به ترکیب پوسته قاره ای بالایی نشان می دهد در هر سه مغزه مورد آزمایش (۲، ۹، ۱۲) میانگین عناصر Cs، La، U، Nd، Tb، Hf، Ce، Sm，Ti，Y，Yb، Zr است، افزایش تیتانیم زیرکن و وانادیم و میانگین عناصر کمتر و میزان Rb，Ba，Th，U，Ta，HF تقریباً K، Nb，Sr

جدول ۲. میزان عناصر فرعی (بر حسب ppm) در رسوبات مانداب بر اساس نتایج حاصل از آنالیز ICP

Sample	SL2-1	SL2-2	SL2-3	SL2-4	SL2-5	SL9-1	SL9-3	SL9-4	SL12-1	SL12-2	SL12-3	SL12-4	UCC
Th	14.3	14.4	12.7	13.3	12.9	10.7	10.3	9.75	13.1	8.47	12.7	12.2	10.5
La	46.4	44.6	37.7	37.8	36.8	39.6	45.7	44.2	36.9	30.3	33.2	35.5	31
Sc	15.6	15.1	13.7	13.6	15.2	14.3	18.5	16.9	14.4	11.7	14.8	16.0	14
Yb	2.82	2.59	2.81	2.11	2.02	2.47	3.25	2.56	2.20	1.73	1.99	2.10	2
Y	24.2	22.1	17.3	16.5	17.2	23.4	29.4	26.7	17.6	16.5	16.1	18.4	21
Sm	6.90	6.76	5.94	5.50	5.11	7.38	8.46	7.68	6.20	5.35	5.29	5.73	4.7
Ce	96.4	91.5	76.9	79.0	70.0	77.2	91.7	88.4	105	71.4	71.1	77.0	63
Zn	102	111	317	355	108	143	94.1	90.4	107	384	137	113	67
Hf	5.10	5.35	5.10	6.23	4.81	4.66	4.71	4.75	4.75	3.20	4.42	4.12	5.3
Nd	42.0	37.1	31.6	30.6	30.0	36.0	43.0	40.5	33.5	24.7	32.2	29.1	27
Zr	261	236	266	258	268	272	289	293	262	191	252	251	193
U	3.40	3.43	3.22	3.02	3.16	2.30	2.72	2.52	2.98	2.50	2.80	2.76	2.7
Ba	509	491	513	496	504	501	595	592	506	484	521	542	628
Ti	6456	6163	6600	6333	6381	6376	6891	6627	6002	4522	6000	5733	5600
Ca	0.42	0.41	0.34	0.35	0.36	0.57	0.68	0.67	0.54	8.37	0.58	0.52	1.17
Ba	509	491	513	496	504	501	595	592	506	484	521	542	628
Sr	155	147	136	141	129	146	161	167	138	587	139	136	320
Nb	22.0	23.1	38.1	20.2	21.4	21.1	18.7	18.7	21.0	14.2	18.5	17.8	12

Bhatia & Crook, 1986, Das . et al,2006 می کند (شکل ۱۲) (Th-Sc-Zr/10)، (Th-Sc-La)، (Th-Sc-Zr)، (Th-Sc).

بنابراین پلات نمونه ها روی دیاگرام سه تایی Th-Sc-Zr/10 و دیاگرام سه تایی Th-Sc-La نیز جایگاه زمین ساختی کمان ماگمایی را برای رسوبات فوق تایید کرد.



شکل ۱۵. انطباق نمونه ها روی دیاگرام های مثلثی Th-Sc-Zr/10 و Th-Sc-La (Das. et. al,2006) (A) حاشیه های قاره ای فعال (B) حاشیه های قاره ای غیر فعال (C) و حاشیه های قاره ای غیر فعال (D)

غالباً حاصل چرخه مجدد رسوبگذاری هستند که پس از هوازدگی و حمل مجدد رسوبات کواترنری اطراف مانداب به مانداب انتقال یافته اند.

#### ۶- نتیجه گیری

رسوبات مانداب سقلکسر نتیجه رسوبگذاری آبراهه هایی هستند که در زیر حوضه آبریز فو منات و از روی افق های آتشفشنی کرتاسه و رخساره سیلابی کواترنری عبور میکنند. بررسی میزان سیلیس و مقایسه سیلیس و آلومین در رسوبات مانداب نشان می دهد که رسوبات شمال غرب مانداب به دلیل هوازدگی ضعیف در سنگ منشأ یا مسافت حمل کمتر و نزدیک به منشأ بودن این رسوبات بلوغ ضعیف تری دارند و ولی بقیه رسوبات مانداب بلوغ کانی شناسی خوبی دارند و تحت تاثیر مسافت حمل بیشتری قرار گرفته اند. XRD ارتباط بین اکسید های مختلف وآلومین و آنالیز حاکی از وجود کانی های رسی و میکاویک فاز غنی از آلومین ایلیت در رسوبات می باشد که دال بر هوازدگی خوب سنگ منشأ می باشد، همچنین مقایسه میزان  $\text{Na}_2\text{O}$  و  $\text{K}_2\text{O}$  بیانگر انهدام شدید K فلدسپارها و افزایش  $\text{K}_2\text{O}$  در رسوبات نیمه جنوبی مانداب و متقابلان  $\text{Na}_2\text{O}$  در نمیه شمالی مانداب هوازدگی ضعیف تر و فراوانی پلازیو کلаз ها در سنگ منشأ  $\text{Na}_2\text{O}$  در نیمه

بر اساس مدل ارائه شده توسط آسیابانها و فودن (Asiabana and Foden, 2012) که بر پایه ژئوشیمی سنگهای البرز ارائه شد ماگماتیسم البرز در رابطه به فروزانش تیس و برخورد صفحه عربی به اوراسیا می باشد و این سنگها طی ۳ مرحله زیر به وجود آمده اند (شکل ۱۶).

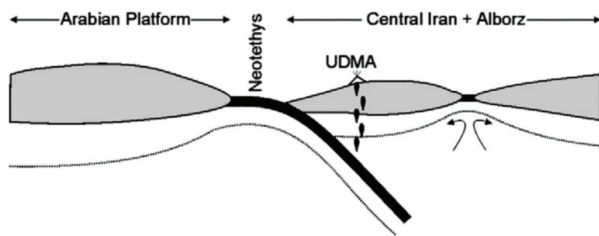
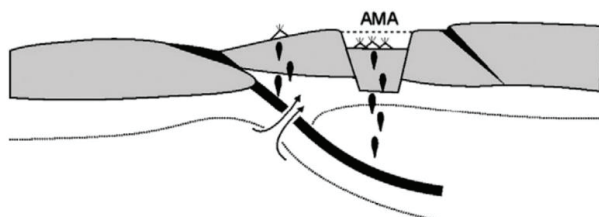
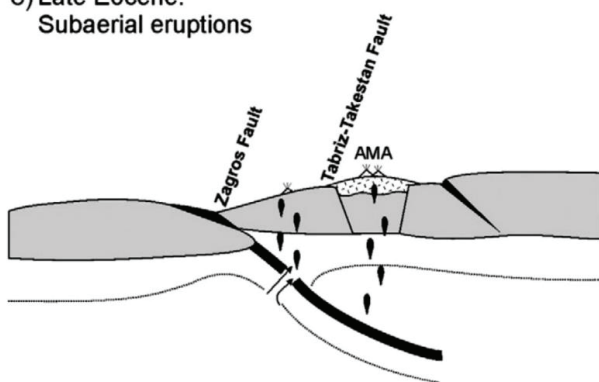
۱- تشکیل لیتوسفر اقیانوسی جنینی در یک حوضه پشت کمانی در پایان کرتاسه تا پالاؤسن، ضمن فروزانش نئوتیس.

۲- تشکیل حوضه باریک و کم عمق بعد از برخورد در امتداد زمین درز البرز و فوران های انفجاری زیر دریایی در امتداد گسل های عادی و نهایتاً بسته شدن این حوضه در جنوب به وسیله بالآمدگی و فرسایش و تشکیل رسوبات تبخیری و آواری که به صورت دگر شبیب روی سازند کرج قرار گرفت.

۳- آتشفشنای شوشونیتی در البرز غربی با سنگهای کالکوآلکالن پتابیک بعد از بسته شدن حوضه البرز جنوبی

بنابراین با مقایسه نتایج بدست آمده با مطالعات فوق طبیعی به نظر می رسد که منشأ اولیه رسوبات از نظر تکتونیکی جزایر قوسی قاره ای و اقیانوسی تعیین شده است و البته لازم به ذکر است که این رسوبات

a) Late Cretaceous

b) Early-Middle Eocene:  
Subaqueous Eruptionsc) Late Eocene:  
Subaerial eruptions

شکل ۱۶. تصویر شماتیک تکامل تکتونوماگمایی مانداب ابرز: (a) فروراش نتوتیس و تشکیل حوضه های آقیانوسی جنینی (اواخر کرتاسه)، (b) تشکیل حوضه های دریایی باریک پشت قوسی، با رسوبات آواری و فوران های انفجاری (اوسن پیشین-میانی) و (c) آتششانی شوشنیتیک از بالا امدگی ابرز (اوسن پیشین) (Asiabanza & Foden, 2012).

در شرایط آب و هوایی نیمه خشک به مانداب انتقال پیدا کرده اند و در نیمه شمالی حاصل چرخه اولیه رسوبگذاری هستند.

داده های ژئوشیمی رسوبات مورد مطالعه و مقایسه با مطالعات پیشین ابتدا بر یک حوضه پشت کمانی حاشیه ای و سپس بر کمان مانگمازی در حاشیه های قاره ای فعال، به عنوان جایگاه زمین ساختی اولیه این رسوبات دلالت می نماید. حوضه ای که با تغییر رژیم زمین ساختی، دچار فرگشت از جایگاه کششی به فشارشی کنونی شده است. هر چند که رسوبات باد شده طی کواترنری، چرخه رسوبگذاری را پس از هوازدگی و حمل مجدد به مانداب متحمل شده اند.

شمالی مانداب می باشد.

مقدادر  $TiO_2$  و محاسبه اندیس های استاندارد ( $Al_2O_3 / Na_2O$  و  $Al_2O_3 / TiO_2$ ) و رسم دیاگرام  $SiO_2 / 10 - CaO + MgO - Na_2O + K_2O$  نشان دهنده سنتی منشأ اولیه گرانیت تا بازالت یا بازالت- گرانیتی در رسوبات فوق می باشد که ممکن است پس از حمل مجدد و چرخه رسوبی مجدد به مانداب حمل شده باشند که احتمالا حاصل فرسایش قطعات حاصل از هوازدگی سنگهای شوشنیتی و مونزرو گابرو البرز در رسوبات کواترنری در اطراف مانداب می باشند که در نیمه جنوبی مانداب طی چرخه رسوبگذاری مجدد پس از حمل فرسایش و مجدد رسوبات اطراف مانداب

PP.279-294.

Costanza, R. De Groot, R. Sutton, P. Van der Ploeg, S. Anderson, S. J. Kubiszewski, I. Farber, S. and Turner, R K, 2014, Changes in the global value of ecosystem services. *Global environmental change*, 261, PP.52-158.

Cox, R Lowe, D. R. and Cullers, R., 1995, The influence of sediment recycling and basement composition on evolution of mudrock chemistry in the southwestern United States. *Geochimica et Cosmochimica Acta*, 59(14), PP.2919-2940.

Crook, A. and Keith, W., 1974, Kratonization of West Pacific-Type Geosynclines. *The Journal of Geology*, 82, PP.24-36.

Cullers, R. L., 1995. The controls on the major-and trace-element evolution of shales, siltstones and sandstones of Ordovician to Tertiary age in the Wet Mountains region. Colorado, USA, *Chemical Geology*, 123(1-4), 107-131.

Das, B. K. Al-Mikhlafi, A. and Kaur, P., 2006, Geochemistry of Mansar Lake sediments, Jammu, India: Implication for source-area weathering, provenance, and tectonic setting. *Journal of Asian Earth Sciences*, 26(6), PP.649-668.

Das, B. K. and Kaur, P., 2008, Geochemistry of Renuka Lake and bog sediments, Lesser Himalaya (India): implications for source-area weathering, provenance, and tectonic setting. *Environmental geology*, 54, PP.147-163 .

Dey, S. Rai, A. and Chaki, A., 2009, Palaeoweathering, composition and tectonics of provenance of the Proterozoic intracratonic Kaladgi-Badami basin, Karnataka, southern India: evidence from sandstone petrography and geochemistry. *Journal of Asian Earth Sciences*, 34(6), PP. 703-715,

Fedo, C. M. Wayne Nesbitt, H. and Young, G. M., 1995, Unraveling the effects of potassium metasomatism in sedimentary rocks and paleosols, with implications for paleoweathering conditions and provenance. *Geology*, 23(10), PP. 921-924.

Flemming, Burghard W., 2007, The influence of grain-size analysis methods and sediment mixing on curve shapes and textural parameters: implications for sediment trend analysis. *Sedimentary Geology*, 202(3), PP. 425-435.

Fursich, F. T., Wilmsen, M., Seyed-Emami, K. & Majidifard, M. R., 2009, Lithostratigraphy of the

## منابع

افتخار نژاد، ج.، ۱۳۵۹، تفکیک یخش‌های مختلف ایران از نظر وضع ساختمانی در ارتباط با حوضه‌های رسوی، انجمن نفت، ۸۲ ص.

درویش‌زاده، ع.، ۱۳۷۰، زمین‌شناسی ایران، تهران: دانش امروز، ۹۰۱، ص.

رحیمی، ب.، ۱۳۷۱، تحلیل ساختاری ارتفاعات بینالود در شرق و شمال شرق نیشابور (چهارگوش درود)، پایان‌نامه کارشناسی ارشد، دانشگاه تربیت معلم تهران، دانشکده علوم ۱۵۹.

نبوی، م.، ۱۳۵۵. دیباچه ای بر زمین‌شناسی ایران، سازمان رمین‌شناسی کشور، ۱۰۹ ص.

Alavi, M., 1991, Sedimentary and structural characteristics of the Paleo-Tethys remnants in northeastern Iran. *Geological Society of America Bulletin* 103(8), PP.983-992.

Amajor, L., 1987, Major and trace element geochemistry of Albian and Turonian shales from the Southern Benue trough, Nigeria. *Journal of African Earth Sciences*, 6(5), PP.633-641.

Armstrong-Altrin, J.S., Lee, Y.I., Verma, S.P., & Ramasamy, S., 2004. Geochemistry of sandstones from the upper Miocene Kudankulam Formation, southern India: Implications for provenance, weathering, and tectonic setting, *Journal of Sedimentary Research*, 74 (2), PP.285-297.

Asiabanga, A. and Foden., J, 2012. Post-collisional transition from an extensional volcano-sedimentary basin to a continental arc in the Alborz Ranges, N-Iran. *Lithos*, 148, PP. 98-111.

Babeesh C., A H., Jaiswal M., Lone A. ,2017 Late Quaternary loess-like paleosols and pedocomplexes, geochemistry, provenance and source area weathering, Manasbal, Kashmir Valley. India, *Geomorphology*, 284, PP.191-205.

Bhatia, M. Crook K.A.W., 1986, Trace element characteristics of graywackes and tectonic setting discrimination of sedimentary basins. *Contributions to mineralogy and petrology*, 92(2), PP. 181-193.

Bhatia, M R, 1983. Plate tectonics and geochemical composition of sandstones. *The Journal of Geology*, 91(6), 611-627,

Condie, K. C. Dengate, J. and Cullers, R. L., 1995, Behavior of rare earth elements in a paleoweathering profile on granodiorite in the Front Range, Colorado, USA. *Geochimica et Cosmochimica Acta*, 59(2),



- Roser, B. and Korsch, R. 1986, Determination of tectonic setting of sandstone-mudstone suites using SiO<sub>2</sub> content and K<sub>2</sub>O/Na<sub>2</sub>O ratio. *The Journal of Geology*, 94(5), PP.635-650
- Roser, B. and Korsch, R. 1988, Provenance signatures of sandstone-mudstone suites determined using discriminant function analysis of major-element data. *Chemical geology* 67(1-2), PP. 119-139.
- Saengsrichan, W. Charoentirat, T. Meesook, A. Hisada, K. and Charusiri, P. 2011, Paleo-environments and tectonic setting of the Mesozoic Thung Yai Group in Peninsular Thailand, with a new record of Parvamassium donaiense Mansuy. *Gondwana Research*, 19(1), PP. 47-60.
- Sunderland, E. M. Cohen, M. D. Selin, N. E. and Chmura, G. L. 2008, Reconciling models and measurements to assess trends in atmospheric mercury deposition. *Environmental Pollution*, 156(2), PP.526-535.
- Suttner, L. J. and Dutta, P. K. 1986, Alluvial sandstone composition and paleoclimate; I ,Framework mineralogy. *Journal of Sedimentary Research*, 56(3), PP.329-345.
- Taylor, S. R. and McLennan, S. M. 1985, The continental crust: its composition and evolution. Blackwell Scientific Publications, Oxford, PP 312.
- Upper Triassic–Middle Jurassic Shemshak Group of Northern Iran. Brunet, M.-F., Wilmsen, M. & Granath, J. W. (eds). South Caspian to Central Iran Basins. Geological Society, London, Special Publications, 312,129-160.
- Hayashi, K. I. Fujisawa, H. Holland, H. D. and Ohmoto, H. 1997, Geochemistry of~ 1.9 Ga sedimentary rocks from northeastern Labrador, Canada. *Geochimica et cosmochimica acta*, 61(19), PP. 4115-4137.
- Kroonenberg, B. 1994, Effects of provenance, sorting and weathering on the geochemistry of fluvial sands from different tectonic and climatic environments. *Proceedings of the 29th international geological congress*, part A, P.81.
- Lee, J. Park, B. Jwa, Y. Yoon, H. Yoo, K. and Kim, Y. 2005, Geochemical characteristics and the provenance of sediments in the Bransfield Strait, West Antarctica. *Marine Geology*, 219(2-3), PP. 81-98.
- Mycielska-Dowgiałło, E. and Ludwikowska-Kędzia, M. 2011, Alternative interpretations of grain-size data from Quaternary deposits. *Geologos*, 17(4), PP.189-203,
- Nagarajan, R. Madhavaraju, J. Nagendra, R. Armstrong-Altrin, J. S. and Moutte, J. 2007, Geochemistry of Neoproterozoic shales of the Rabanpalli Formation, Bhima Basin, Northern Karnataka, southern India: implications for provenance and paleoredox conditions. *Reviña mexicana de ciencias geológicas*, 24(2), PP.150-160,
- Navid, D. 1989, The international law of migratory species: the Ramsar Convention. *Natural Resources Journal*, P.129.
- Nesbitt, H. W. and Young, G. 1982, Early Proterozoic climates and plate motions inferred from major element chemistry of lutites *Nature*, 299(5885), P.715.
- Noe, G. B. and Childers, D. L. 2007, Phosphorus budgets in Everglades bog ecosystems: the effects of hydrology and nutrient enrichment. *Bogs Ecology and Management*, 15(3), PP.189-205.
- Oni, S. Olatunji, A. and Ehinola, O. 2014, Determination of provenance and tectonic settings of Niger Delta clastic facies using well-y, Onshore Delta State, Nigeria. *Journal of Geochemistry*, 2014.
- Potter, P. E. 1978, Petrology and chemistry of modern big river sands. *The Journal of Geology*, 86(4), PP. 423-449.